



Seminarvortrag

# Assoziativspeicher

Alexander Hentschel

[hentsche@informatik.hu-berlin.de](mailto:hentsche@informatik.hu-berlin.de)

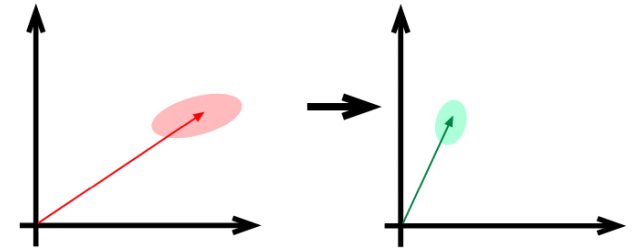
# Assoziativspeicher

## Inhalt

- 3 verschiedene Klassen von Assoziativspeichern
- allgemeine Funktionsweise
- Lernen in Assoziativspeichern: Hebbian-Learning
- empirische Resultate des Lernverfahrens
- Verbesserung der Erkennungsleistung von Assoziativspeichern

## Bisher:

- neuronale Netze ohne Rückkopplung
- Backpropagation-Netze:  
Umgebung jeder bekannten Eingabe → Umgebung der jeweiligen Ausgabe

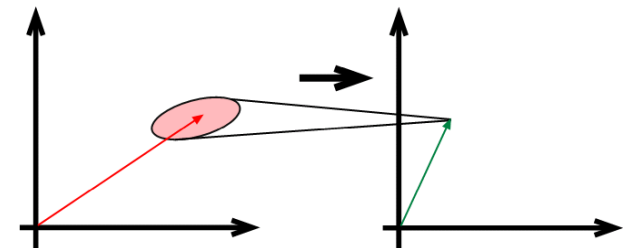
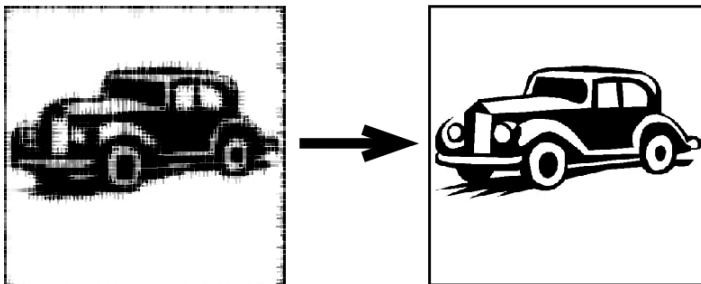


## Jetzt:

- bestimmte Eingaben sollen mit zugehörigen Ausgaben **assoziiert** werden (daher Name: Assoziativspeicher)
- auch Umgebung jeder bekannten Eingabe **x** → jeweiligen Ausgabe **y**

## Vorteil

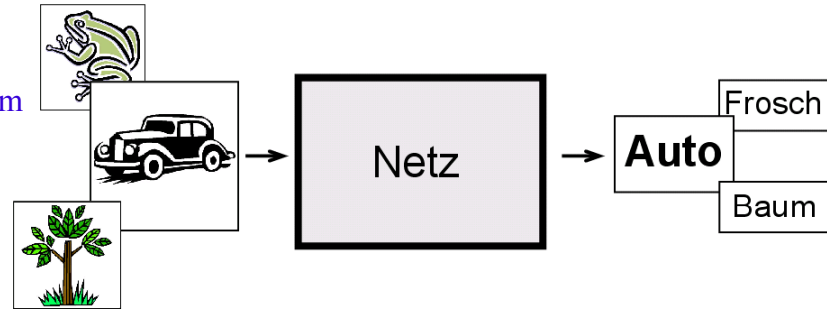
- Assoziativspeicher kann leicht verrauschte Eingaben erkennen:



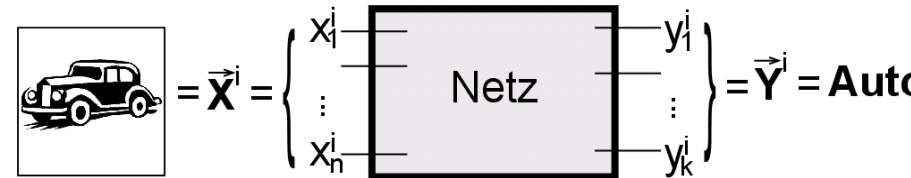
# Klassen von Assoziativspeichern

## Heteroassoziative Netze

verknüpfen  $m$  Eingabevektoren  $\vec{x}^1, \vec{x}^2, \dots, \vec{x}^m$   
mit  $m$  Ausgabevektoren  $\vec{y}^1, \vec{y}^2, \dots, \vec{y}^m$



Formal:



Eingabe  $\tilde{x}$  mit  $\tilde{x} \simeq \vec{x}^i$   
soll ebenfalls Ausgabe  $\vec{y}^i$  erzeugen



# Klassen von Assoziativspeichern

## Heteroassoziative Netze

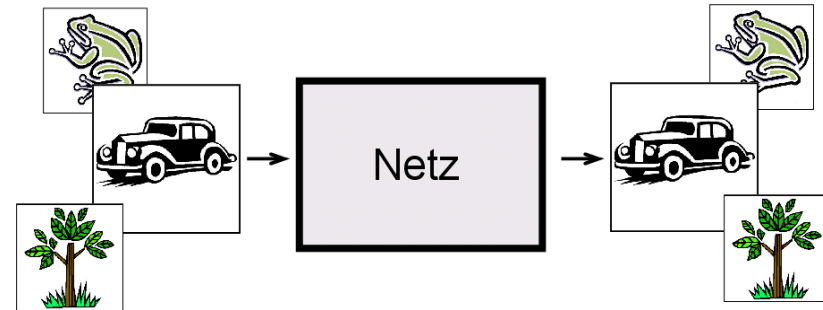
verknüpfen  $m$  Eingabevektoren  $\vec{x}^1, \vec{x}^2, \dots, \vec{x}^m$   
mit  $m$  Ausgabevektoren  $\vec{y}^1, \vec{y}^2, \dots, \vec{y}^m$

Eingabe  $\tilde{x}$  mit  $\tilde{x} \approx \vec{x}^i$   
soll ebenfalls Ausgabe  $\vec{y}^i$  erzeugen



## Autoassoziative Netze

Wie heteroassoziative Netze, aber  
 $\vec{x}^1, \vec{x}^2, \dots, \vec{x}^m$  werden mit sich selbst  
assoziiert:  $\vec{y}^i \approx \vec{x}^i$



Formal:



# Klassen von Assoziativspeichern

## Heteroassoziative Netze

verknüpfen  $m$  Eingabevektoren  $\vec{x}^1, \vec{x}^2, \dots, \vec{x}^m$   
mit  $m$  Ausgabevektoren  $\vec{y}^1, \vec{y}^2, \dots, \vec{y}^m$

Eingabe  $\tilde{x}$  mit  $\tilde{x} \approx \vec{x}^i$   
soll ebenfalls Ausgabe  $\vec{y}^i$  erzeugen



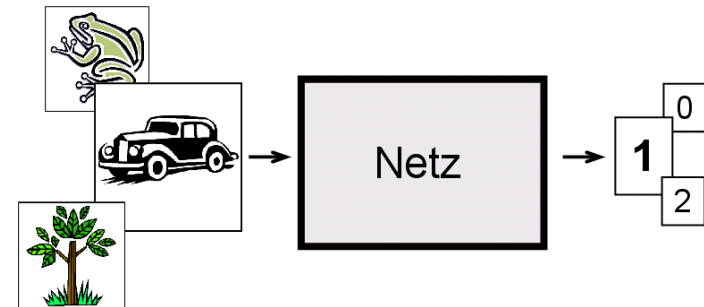
## Autoassoziative Netze

Wie heteroassoziative Netze, aber  
 $\vec{x}^1, \vec{x}^2, \dots, \vec{x}^m$  werden mit sich selbst  
assoziiert:  $\vec{y}^i \approx \vec{x}^i$



## Mustererkennungsnetze

Spezialfall der heteroassoziativen Netze:  
Eingabevektoren  $\vec{x}^1, \vec{x}^2, \dots, \vec{x}^m$  mit  
Nummern  $i = 1, 2, \dots, m$  assoziiert



# Klassen von Assoziativspeichern

## Heteroassoziative Netze

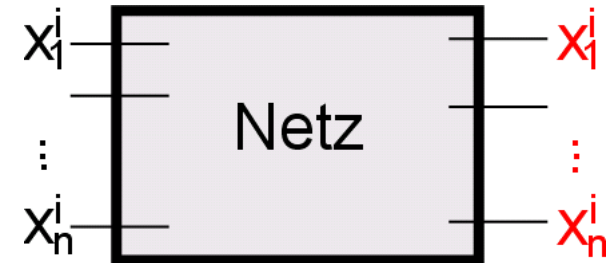
verknüpfen  $m$  Eingabevektoren  $\vec{x}^1, \vec{x}^2, \dots, \vec{x}^m$   
mit  $m$  Ausgabevektoren  $\vec{y}^1, \vec{y}^2, \dots, \vec{y}^m$

Eingabe  $\tilde{x}$  mit  $\tilde{x} \approx \vec{x}^i$   
soll ebenfalls Ausgabe  $\vec{y}^i$  erzeugen



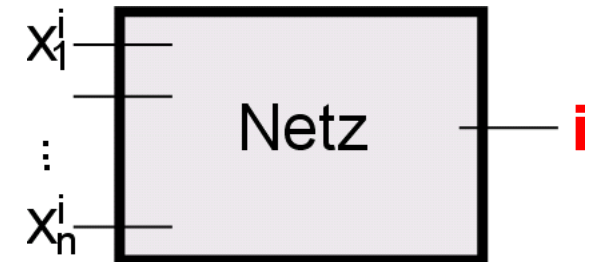
## Autoassoziative Netze

Wie heteroassoziative Netze, aber  
 $\vec{x}^1, \vec{x}^2, \dots, \vec{x}^m$  werden mit sich selbst  
assoziiert:  $\vec{y}^i \approx \vec{x}^i$



## Mustererkennungsnetze

Spezialfall der heteroassoziativen Netze:  
Eingabevektoren  $\vec{x}^1, \vec{x}^2, \dots, \vec{x}^m$  mit  
Nummern  $i = 1, 2, \dots, m$  assoziiert



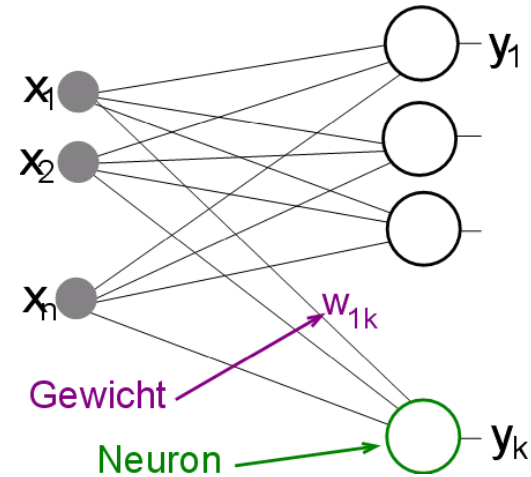
# Struktur des Assoziativspeichers

Implementierbar mit nur einer Schicht von Neuronen

Leitungen von Eingabestellen zu Neuronen  
gewichtet durch  $w_{ij}$

Gewichtematrix:  $\mathbf{W} = \{w_{ij}\}$

Erregungen der Neuronen als Vektor:  $\vec{\xi} = (e_1, \dots, e_k)$



In Matrixschreibweise:

Eingabevektor  $\vec{x} = (x_1, x_2, \dots, x_n)$  erzeugt Erregungsvektor  $\vec{\xi}$

$$\vec{x}\mathbf{W} = \vec{\xi}$$

$$(x_1, x_2, x_3) \begin{pmatrix} w_{11} & w_{12} & w_{13} \\ w_{21} & w_{22} & w_{23} \\ w_{31} & w_{32} & w_{33} \end{pmatrix} = (e_1, e_2, e_3)$$

$$\text{mit } e_1 = x_1 w_{11} + x_2 w_{21} + x_3 w_{31}$$

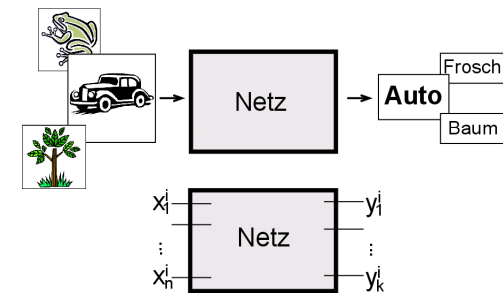
Lineare Assoziatoren: Neuronen geben als Ergebnis anliegende Erregung aus

$$\vec{x}\mathbf{W} = \vec{\xi} = \vec{y}$$



# Struktur des Assoziativspeichers

Ziel:  $m$  verschiedene  $n$ -dim. Eingabevektoren  
 assoziieren mit  $m$   $k$ -dim. Ausgabevektoren



verwenden Lineare Assoziatoren:  $\vec{x}\mathbf{W} = \vec{y}$

Verallgemeinerung der Matrixgleichung:

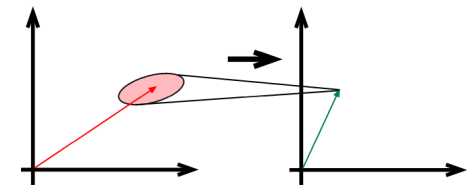
$$\underbrace{\begin{pmatrix} x_1^i & \dots & x_n^i \end{pmatrix}}_{\vec{x}^i} \underbrace{\begin{pmatrix} w_{11} & \dots & w_{1k} \\ \vdots & \ddots & \vdots \\ w_{n1} & \dots & w_{nk} \end{pmatrix}}_{\mathbf{W}} = \underbrace{\begin{pmatrix} y_1^i & \dots & y_k^i \end{pmatrix}}_{\vec{y}^i} \longrightarrow \underbrace{\begin{pmatrix} \vec{x}^1 \\ \vdots \\ \vec{x}^m \end{pmatrix}}_{\mathbf{X}} \underbrace{\begin{pmatrix} w_{11} & \dots & w_{1k} \\ \vdots & \ddots & \vdots \\ w_{n1} & \dots & w_{nk} \end{pmatrix}}_{\mathbf{W}} = \underbrace{\begin{pmatrix} \vec{y}^1 \\ \vdots \\ \vec{y}^m \end{pmatrix}}_{\mathbf{Y}}$$

$$\mathbf{XW} = \mathbf{Y}$$

Damit: Neuronales Netz (gegeben durch  $\mathbf{W}$ ) konstruiert, das Ziel erfüllt

Noch offen:

- 1) Netz soll verrauschte Eingaben erkennen
- 2) Wie findet man Matrix  $\mathbf{W}$  (Lernalgorithmus) ?



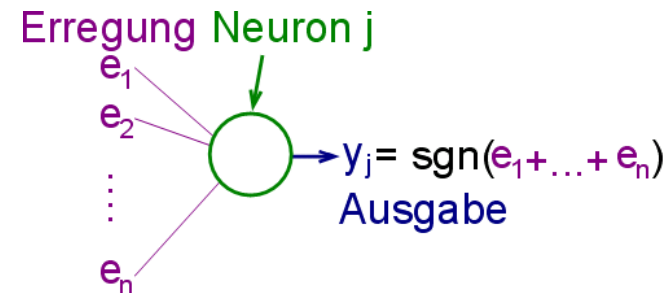
# Erkennung verrauschter Eingaben

Codierung der Eingaben als **Bipolarvektoren**:

binär	0	1	0	0	1	0	1	1	1	0
bipolar	-1	1	-1	-1	1	-1	1	1	1	-1

Aktivierungsfunktion der Neuronen:

$$\text{Vorzeichen-Funktion } \text{sgn}(x) = \begin{cases} 1 & \text{für } x \geq 0 \\ -1 & \text{für } x < 0 \end{cases}$$



In Kombination mit geeigneter Gewichtematrix **W** liefert dies gute Resultate

## Lernalgorithmus Hebbian-Learning:

Gegeben:

- Netz aus einer einzigen Schicht von  $k$  Neuronen
- Vorzeichenfunktion als Aktivierungsfunktion der Neuronen
- $n$ -dim. bipolarer Eingabevektor  $\vec{x}$
- $k$ -dim. bipolarer Ausgabevektor  $\vec{y}$

Gesucht:

- passende Gewichte  $w_{ij}$ , so dass  $\vec{x}$  auf  $\vec{y}$  abgebildet wird

# Lernalgorithmus **Hebbian-Learning**:

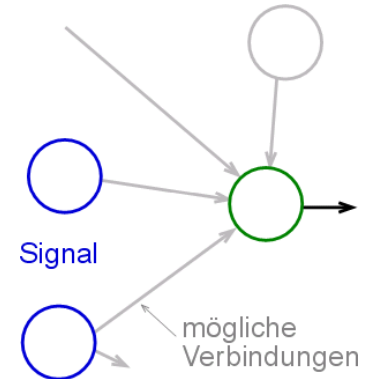
Gegeben:

- $\vec{x}, \vec{y}$

Gesucht:

- Matrix  $\mathbf{W} = \{w_{ij}\}$  mit  $\text{sgn}(\vec{x}\mathbf{W}) = \vec{y}$

Idee: zwei gleichzeitig aktive Neuronen gehen stärkere Verbindung ein als Neuronen, deren Aktivität nicht korreliert ist



# Lernalgorithmus **Hebbian-Learning:**

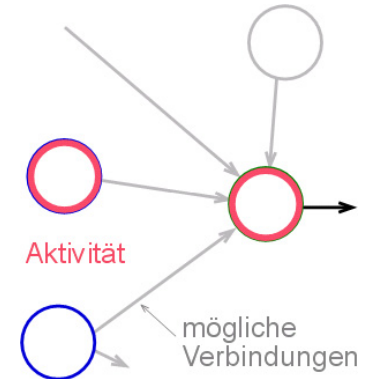
Gegeben:

- $\vec{x}, \vec{y}$

Gesucht:

- Matrix  $\mathbf{W} = \{w_{ij}\}$  mit  $\text{sgn}(\vec{x}\mathbf{W}) = \vec{y}$

Idee: zwei gleichzeitig aktive Neuronen gehen stärkere Verbindung ein als Neuronen, deren Aktivität nicht korreliert ist



# Lernalgorithmus **Hebbian-Learning:**

Gegeben:

- $\vec{x}, \vec{y}$

Gesucht:

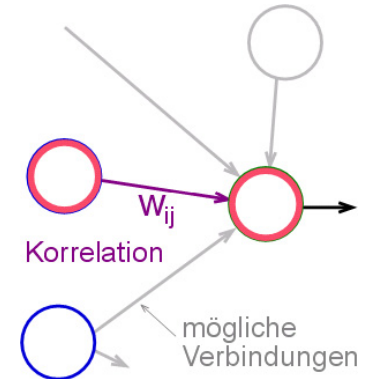
- Matrix  $\mathbf{W} = \{w_{ij}\}$  mit  $\text{sgn}(\vec{x}\mathbf{W}) = \vec{y}$

Idee: zwei gleichzeitig aktive Neuronen gehen stärkere Verbindung ein als Neuronen, deren Aktivität nicht korreliert ist

für Assoziativspeicher

- Anfang: alle Gewichte  $w_{ij} = 0$
- in Lernphase: Ein- und Ausgabe von außen festgelegt
- liegt Erregung an einzelner Leitung an:  
Gewicht dieser Leitung um  $\Delta w_{ij}$  erhöhen

Verknüpfung von  $\vec{x}$  mit  $\vec{y}$  bei:  $\Delta \mathbf{W}_{ij} = x_i y_j$



# Lernalgorithmus Hebbian-Learning:

Gegeben:

- $\vec{x}, \vec{y}$

Gesucht:

- Matrix  $\mathbf{W} = \{w_{ij}\}$  mit  $\text{sgn}(\vec{x}\mathbf{W}) = \vec{y}$

Verknüpfung von  $\vec{x}$  mit  $\vec{y}$  bei:  $\Delta w_{ij} = x_i y_j$

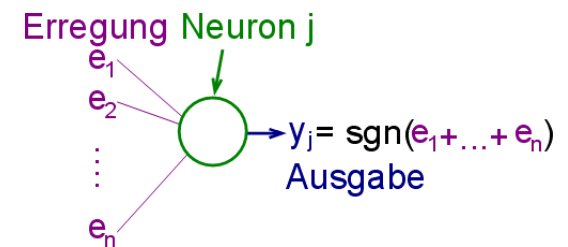
Nach Lernphase:  $\mathbf{W} = \{x_i y_j\}$  (Korrelationsmatrix)

$$\text{Erregung: } \vec{x}\mathbf{W} = (x_1, \dots, x_n) \begin{pmatrix} x_1 y_1 & \cdots & x_1 y_k \\ \vdots & \ddots & \vdots \\ x_n y_1 & \cdots & x_n y_k \end{pmatrix} = (y_1 \underbrace{\sum_{i=1}^n x_i x_i}_{e_1}, \dots, y_k \underbrace{\sum_{i=1}^n x_i x_i}_{e_k}) = \vec{y} (\vec{x} \cdot \vec{x})$$

$$\text{Ausgabe des } k\text{-ten Neurons: } \text{sgn}(y_k \sum_{i=1}^n \underbrace{x_i x_i}_{>0}) = y_k$$

$\pm 1$

$$\text{Ausgabe des Netzes: } \text{sgn}(\vec{x}\mathbf{W}) = \vec{y}$$



# Lernalgorithmus Hebbian-Learning:

Gegeben:

- $\vec{x}, \vec{y}$

Gesucht:

- Matrix  $\mathbf{W} = \{w_{ij}\}$  mit  $\text{sgn}(\vec{x}\mathbf{W}) = \vec{y}$

Verknüpfung von  $\vec{x}$  mit  $\vec{y}$  bei:  $\Delta w_{ij} = x_i y_j$

Nach Lernphase:  $\mathbf{W} = \{x_i y_j\}$  (Korrelationsmatrix)

Ziel:  $m$  verschiedene  $n$ -dim. Eingabevektoren  
assoziiieren mit  $m$   $k$ -dim. Ausgabevektoren

Gegeben:

- $\vec{x}^1, \dots, \vec{x}^m$  und  $\vec{y}^1, \dots, \vec{y}^m$

Gesucht:

- Matrix  $\mathbf{W} = \{w_{ij}\}$  mit  $\text{sgn}(\vec{x}^i \mathbf{W}) = \vec{y}^i$

Hebb-Regel auf alle Vektorpaare  $\vec{x}^i, \vec{y}^i$  anwenden:

Gewichtematrix:

$$\mathbf{W} = \mathbf{W}^1 + \mathbf{W}^2 + \dots + \mathbf{W}^m$$

mit  $\mathbf{W}^a = \{x_i^a y_j^a\}_{n \times k}$   $n \times k$ - Korrelationsmatrix  
der assoziierten Vektoren  $\vec{x}^a, \vec{y}^a$

# Lernalgorithmus Hebbian-Learning:

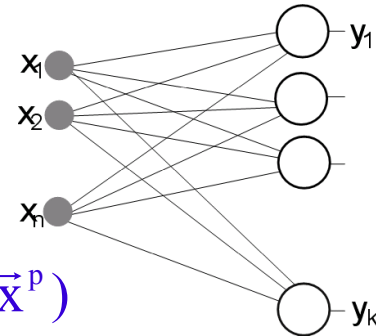
Gewichtematrix:

$$\mathbf{W} = \mathbf{W}^1 + \mathbf{W}^2 + \dots + \mathbf{W}^m$$

mit  $\mathbf{W}^a = \{x_i^a y_j^a\}_{n \times k}$   $n \times k$ - Korrelationsmatrix  
der assoziierten Vektoren  $\vec{x}^i, \vec{y}^i$

Eingabe:  $\vec{x}^p$  mit  $p \in \{1, \dots, n\}$

$$\begin{aligned} \text{Erregung: } \vec{x}^p \mathbf{W} &= \vec{x}^p (\mathbf{W}^1 + \mathbf{W}^2 + \dots + \mathbf{W}^m) = \vec{x}^p \mathbf{W}^p + \sum_{s \neq p} \vec{x}^p \mathbf{W}^s \\ &= \underbrace{\vec{y}^p (\vec{x}^p \cdot \vec{x}^p)}_{\substack{\text{positive} \\ \text{Konstante}}} + \underbrace{\sum_{s \neq p} \vec{y}^s (\vec{x}^s \cdot \vec{x}^p)}_{\substack{\text{crosstalk} \\ \text{(Störfaktor)}}} \end{aligned}$$



Das Netz produziert gewünschte Ausgabe  $\vec{y}^p$ , falls

- crosstalk null ist (ist der Fall, wenn  $\vec{x}^1, \dots, \vec{x}^m$  paarweise orthogonal)
- crosstalk hinreichend klein zu  $\vec{y}^p (\vec{x}^p \cdot \vec{x}^p)$



# Lernalgorithmus Hebbian-Learning:

Eingabe:  $\vec{x}^p$

$$\text{Erregung: } \vec{x}^p \mathbf{W} = \vec{y}^p (\vec{x}^p \cdot \vec{x}^p) + \underbrace{\sum_{s \neq p} \vec{y}^s (\vec{x}^s \cdot \vec{x}^p)}_{\text{crosstalk}}$$

$$\text{Ausgabe: } \text{sgn}(\vec{x}^p \mathbf{W}) = \text{sgn} \left( \vec{y}^p (\vec{x}^p \cdot \vec{x}^p) + \sum_{s \neq p} \vec{y}^s (\vec{x}^s \cdot \vec{x}^p) \right)$$

**crosstalk**  
(Störfaktor)

$$= \text{sgn} \left( \vec{y}^p + \sum_{s \neq p} \vec{y}^s \frac{(\vec{x}^s \cdot \vec{x}^p)}{(\vec{x}^p \cdot \vec{x}^p)} \right) \quad \text{da } (\vec{x}^p \cdot \vec{x}^p) \text{ positive Konstante}$$

$$\text{gewollte Ausgabe: } \vec{y}^p \stackrel{!}{=} \text{sgn} \left( \vec{y}^p + \sum_{s \neq p} \vec{y}^s \frac{(\vec{x}^s \cdot \vec{x}^p)}{(\vec{x}^p \cdot \vec{x}^p)} \right)$$

Dafür muss gelten: absoluter Wert jeder Komponente des Störterms  $\leq 1$

d.h.: Skalarprodukt  $\vec{x}^s \cdot \vec{x}^p \ll$  Längenquadrat von  $\vec{x}^p$

$\approx 0$   
für nahezu  
orthogonale Vektoren

$|\vec{x}^p|^2 = n$   
mit  $n =$  Dimension von  $\vec{x}^p$

# Lernalgorithmus Hebbian-Learning:

$$\text{sgn}(\vec{x}^p \mathbf{W}) = \text{sgn} \left( \vec{y}^p + \sum_{s \neq p} \vec{y}^s \frac{(\vec{x}^s \cdot \vec{x}^p)}{(\vec{x}^p \cdot \vec{x}^p)} \right)$$

## Beispiel:

Erlernte Vektorpaare:  $\vec{x}^1 \rightarrow \vec{y}^1$   
 $\vec{x}^2 \rightarrow \vec{y}^2$

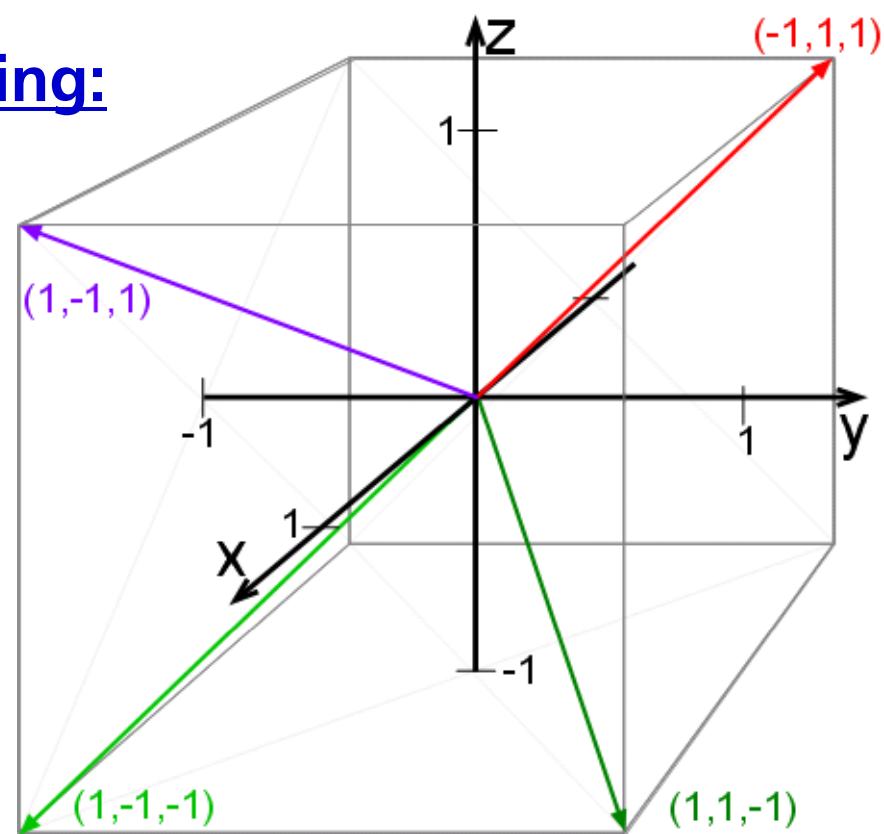
Eingabe:  $\vec{x}^1$

Ausgabe:

$$\text{sgn}(\vec{x}^1 \mathbf{W}) = \text{sgn} \left( \vec{y}^1 + \vec{y}^2 \frac{(\vec{x}^2 \cdot \vec{x}^1)}{(\vec{x}^1 \cdot \vec{x}^1)} \right)$$

$$= \text{sgn} \left( \vec{y}^1 + \vec{y}^2 \frac{-1}{3} \right)$$

$$= \text{sgn} \left( \begin{pmatrix} 1 \\ -1 \\ 1 \end{pmatrix} + \begin{pmatrix} 1 \\ -1 \\ -1 \end{pmatrix} \frac{-1}{3} \right) = \text{sgn} \begin{pmatrix} 2/3 \\ -2/3 \\ 4/3 \end{pmatrix} = \begin{pmatrix} 1 \\ -1 \\ 1 \end{pmatrix} = \vec{y}^1 \quad \checkmark$$



# Lernalgorithmus **Hebbian-Learning**:

## Ziel:

- $m$  verschiedene  $n$ -dim. Eingabevektoren assoziieren mit  $m$   $k$ -dim. Ausgabevektoren
- **Erkennung verrauschter Eingaben**

## Resultat:

- Lernverfahren liefert entsprechende Resultate für fast orthogonale Eingabevektoren
- für  $m \ll n$  (Anzahl erlernter Vektorpaare  $\ll$  Vektorlänge der Eingabe) zufällige Menge  $\vec{x}^1, \dots, \vec{x}^m$  von Bipolarvektoren mit hoher Wahrscheinlichkeit paarweise nahezu orthogonal

## Anwendung: Bilderkennung

Bild mit 100kb  $\approx$  800.000 bit

bei  $m=0.01n$  (1%): 8000 Bilder im Netz assoziierbar

# Lernalgorithmus Hebbian-Learning:

verrauschte Eingabe:  $\tilde{\vec{x}} \simeq \vec{x}^p$

Hemming-Abstand zwischen  $\tilde{\vec{x}}$  und  $\vec{x}^p : H$

Korrelationsmatrix  $\mathbf{W}^a$  darstellbar als:  $\vec{x}^{aT} \otimes \vec{y}^a$

( $\vec{x}^p$  erlernter Vektor der Dim.  $n$ )

(Anzahl unterschiedlicher Komponenten)

( $\otimes$  - Tensorprodukt;  $\vec{x}, \vec{y}$  - Zeilenvektoren)

$$\text{Tensorprodukt: } \vec{x}^{iT} \otimes \vec{y}^i = \begin{pmatrix} x_1^i \cdot (y_1^i, \dots, y_n^i) \\ \vdots \\ x_n^i \cdot (y_1^i, \dots, y_n^i) \end{pmatrix}$$

# Lernalgorithmus Hebbian-Learning:

verrauschte Eingabe:  $\tilde{\vec{x}} \simeq \vec{x}^p$

( $\vec{x}^p$  erlernter Vektor der Dim.  $\mathbf{n}$ )

Hemming-Abstand zwischen  $\tilde{\vec{x}}$  und  $\vec{x}^p$  :  $\mathbf{H}$

(Anzahl unterschiedlicher Komponenten)

Korrelationsmatrix  $\mathbf{W}^a$  darstellbar als:  $\vec{x}^{aT} \otimes \vec{y}^a$

( $\otimes$  - Tensorprodukt;  $\vec{x}, \vec{y}$  - Zeilenvektoren)

$$\underline{\text{Ausgabe:}} \quad \text{sgn}(\tilde{\vec{x}}\mathbf{W}) = \text{sgn}\left(\tilde{\vec{x}}(\mathbf{W}^1 + \mathbf{W}^2 + \dots + \mathbf{W}^m)\right) = \text{sgn}\left(\tilde{\vec{x}}\mathbf{W}^p + \sum_{s \neq p} \tilde{\vec{x}}\mathbf{W}^s\right)$$

$$= \text{sgn}\left(\underbrace{\tilde{\vec{x}} \cdot \vec{x}^{pT}}_{\text{= n-2H}} \otimes \vec{y}^p + \sum_{s \neq p} \underbrace{\tilde{\vec{x}} \cdot \vec{x}^{sT}}_{\ll \mathbf{n}} \otimes \vec{y}^s\right)$$

Da  $\tilde{\vec{x}} \simeq \vec{x}^p$  ist deren Hamming-Abstand klein verglichen mit der Vektorlänge  
 $\Rightarrow \mathbf{H} \ll \mathbf{n} \quad \Rightarrow \mathbf{n} - 2\mathbf{H} \approx \mathbf{n}$

$\ll \mathbf{n}$   
 da  $\tilde{\vec{x}} \simeq \vec{x}^p$  und  $\vec{x}^p$  fast orthogonal zu  $\vec{x}^s$   
 d.h.  $\tilde{\vec{x}} \cdot \vec{x}^{sT} \simeq \vec{x}^p \cdot \vec{x}^{sT} \simeq 0$

$$\text{sgn}(\tilde{\vec{x}}\mathbf{W}) \approx \text{sgn}\left(\underbrace{\mathbf{n} \cdot \vec{y}^p}_{\text{Vektorkomponenten} = \pm \mathbf{n}} + \underbrace{\sum_{s \neq p} \tilde{\vec{x}} \cdot \vec{x}^{sT} \otimes \vec{y}^s}_{\text{Vektorkomponenten} \ll \mathbf{n}}\right) = \vec{y}^p \quad \checkmark$$

Vektorkomponenten =  $\pm \mathbf{n}$     Vektorkomponenten  $\ll \mathbf{n}$

# Lernalgorithmus Hebbian-Learning:

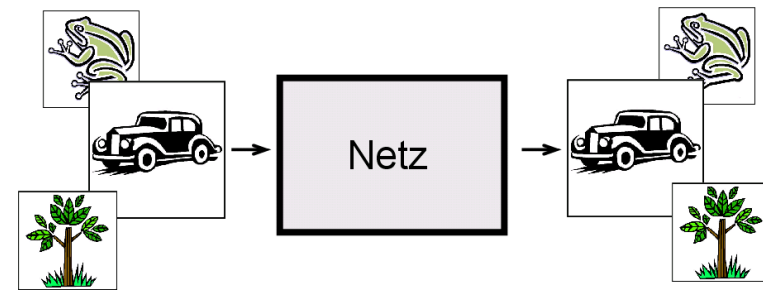
autoassoziatives Netz:

$\vec{x}^1, \dots, \vec{x}^m$  sollen autoassoziiert werden:

Ziel:  $\text{sgn}(\vec{x}^i \mathbf{W}) = \vec{x}^i$  für  $i = 1, \dots, m$

$\mathbf{W} = \mathbb{1}$  unzureichend, da dies keine  
verrauschten Eingaben korrigiert

Was liefert das (rauschtolerante) Hebb-Verfahren ?

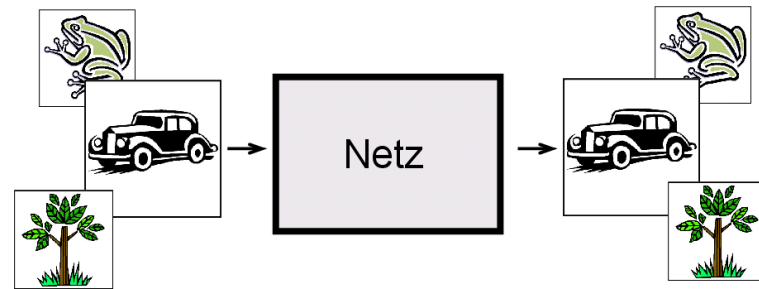


# Lernalgorithmus Hebbian-Learning:

autoassoziatives Netz:

$\vec{x}^1, \dots, \vec{x}^m$  sollen autoassoziiert werden:

$$\mathbf{W} = \vec{x}^1 \vec{x}^1{}^T + \vec{x}^2 \vec{x}^2{}^T + \dots + \vec{x}^m \vec{x}^m{}^T$$



mit  $\vec{x}^i{}^T \vec{x}^i \equiv \vec{x}^i{}^T \otimes \vec{x}^i = \begin{pmatrix} x_1^i \cdot (x_1^i, \dots, x_n^i) \\ \vdots \\ x_n^i \cdot (x_1^i, \dots, x_n^i) \end{pmatrix}$

es gilt:  $\text{sgn}(\vec{x}^i \mathbf{W}) = \vec{x}^i$  (\*) für  $i = 1, \dots, m$

$$\text{sgn}(\mathbf{XW}) = \mathbf{X}$$

$$\mathbf{X} = \begin{pmatrix} x_1^1 & \dots & x_n^1 \\ \vdots & \ddots & \vdots \\ x_1^m & \dots & x_n^m \end{pmatrix} = \begin{pmatrix} \vec{x}^1 \\ \vdots \\ \vec{x}^m \end{pmatrix}$$

$\text{sgn}(\cdot \mathbf{W})$  stellt nichtlinearen Operator dar

(\*) entspricht Fixpunkten des Operators

## Lernproblem für (auto-) Assoziativspeicher:

für gegebene Vektoren  $\vec{x}^1, \dots, \vec{x}^m$  Matrix  $\mathbf{W}$  finden, dass diese Vektoren Fixpunkte des (nichtlinearen) Operators  $\text{sgn}(\cdot \mathbf{W})$  bilden

# Hebbian-Learning: geometrische Deutung

autoassoziatives Netz:

Matrizen  $\mathbf{W}^1, \mathbf{W}^2, \dots, \mathbf{W}^m$  mit  $\mathbf{W}^i = \bar{\mathbf{x}}^i \bar{\mathbf{x}}^i{}^T$

**am Beispiel**  $\mathbf{W}^1 = \bar{\mathbf{x}}^1 \bar{\mathbf{x}}^1{}^T$

Eingabe in Netz:  $\vec{z}$

Eingabevektor in Netz  $\mathbf{W}^1$  wird in den durch Vektor  $\bar{\mathbf{x}}^1$  aufgespannten Raum projiziert:

$$\vec{z} \mathbf{W}^1 = \vec{z} \cdot (\bar{\mathbf{x}}^1 \bar{\mathbf{x}}^1{}^T) = (\vec{z} \cdot \bar{\mathbf{x}}^1{}^T) \bar{\mathbf{x}}^1 = c_1 \bar{\mathbf{x}}^1 \quad c_1 \in \mathbb{R} \text{ Konstante}$$

nicht-orthogonale Projektion von  $\vec{z}$  auf durch  $\bar{\mathbf{x}}^1$  aufgespannte Linie

**allgemein:**

$\mathbf{W} = \mathbf{W}^1 + \dots + \mathbf{W}^m$  ist lineare Transformation, die n-dim. Vektor  $\vec{z}$  auf den durch die m Vektoren  $\bar{\mathbf{x}}^1, \dots, \bar{\mathbf{x}}^m$  aufgespannten m-dim. Unterraum projiziert, da:

$$\vec{z} \mathbf{W} = \vec{z} \mathbf{W}^1 + \dots + \vec{z} \mathbf{W}^m = c_1 \bar{\mathbf{x}}^1 + c_2 \bar{\mathbf{x}}^2 + \dots + c_m \bar{\mathbf{x}}^m$$

nicht-orthogonale (lineare) Projektion



# Hebbian-Learning: geometrische Deutung

autoassoziatives Netz:

Matrizen  $\mathbf{W}^1, \mathbf{W}^2, \dots, \mathbf{W}^m$  mit  $\mathbf{W}^i = \bar{\mathbf{x}}^i \bar{\mathbf{x}}^i{}^T$

$\bar{\mathbf{x}}^1, \dots, \bar{\mathbf{x}}^m$  fast orthogonal, d.h.  $\bar{\mathbf{x}}^a \cdot \bar{\mathbf{x}}^b{}^T \approx 0$  für  $a \neq b$

verrauschte Eingabe:  $\vec{\mathbf{z}} \approx \bar{\mathbf{x}}^p$

Erregung:

$$\vec{\mathbf{z}} \mathbf{W} = (\underbrace{\vec{\mathbf{z}} \cdot \bar{\mathbf{x}}^1{}^T}_{\mathbf{w}^1}) \bar{\mathbf{x}}^1 + \dots + (\underbrace{\vec{\mathbf{z}} \cdot \bar{\mathbf{x}}^p{}^T}_{\mathbf{w}^p}) \bar{\mathbf{x}}^p + \dots + (\underbrace{\vec{\mathbf{z}} \cdot \bar{\mathbf{x}}^m{}^T}_{\mathbf{w}^m}) \bar{\mathbf{x}}^m$$

$$= c_1 \bar{\mathbf{x}}^1 + \dots + c_p \bar{\mathbf{x}}^p + \dots + c_m \bar{\mathbf{x}}^m$$

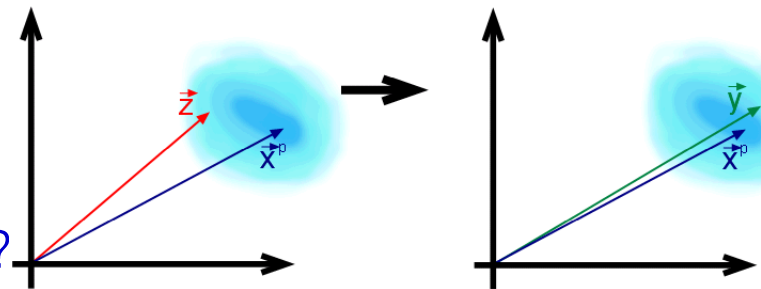
klein wegen  $c_i := \vec{\mathbf{z}} \cdot \bar{\mathbf{x}}^i \approx \bar{\mathbf{x}}^p \cdot \bar{\mathbf{x}}^i \approx 0$

dominant, da  $c_p := \vec{\mathbf{z}} \cdot \bar{\mathbf{x}}^p \approx \bar{\mathbf{x}}^p \cdot \bar{\mathbf{x}}^p = n$

$$\vec{\mathbf{z}} \mathbf{W} = c_p \bar{\mathbf{x}}^p + \text{Störanteil}$$

Frage: in welchem Bereich um  $\bar{\mathbf{x}}^p$  liefert Netz bei Eingabe  $\vec{\mathbf{z}} \approx \bar{\mathbf{x}}^p$  einen Vektor  $\vec{\mathbf{y}}$  der näher an  $\bar{\mathbf{x}}^p$  liegt als  $\vec{\mathbf{z}}$ ?

Wie groß ist das **Attraktionsbecken** von  $\bar{\mathbf{x}}^p$ ?



# Hebbian-Learning: empirische Resultate

- wollen **Größe der Attraktionsbecken** untersuchen
- verwenden als Abstandsmaß zwischen Bipolarvektoren **Hamming-Abstand** (Anzahl der unterschiedlichen Komponenten beider Vektoren)

wählen: **autoassoziatives Netz**

Dimension  $n=10$

Anzahl der Vektoren  $m = 10$ :  $\vec{x}^1, \dots, \vec{x}^{10}$  zufällig gleichverteilt gewählt

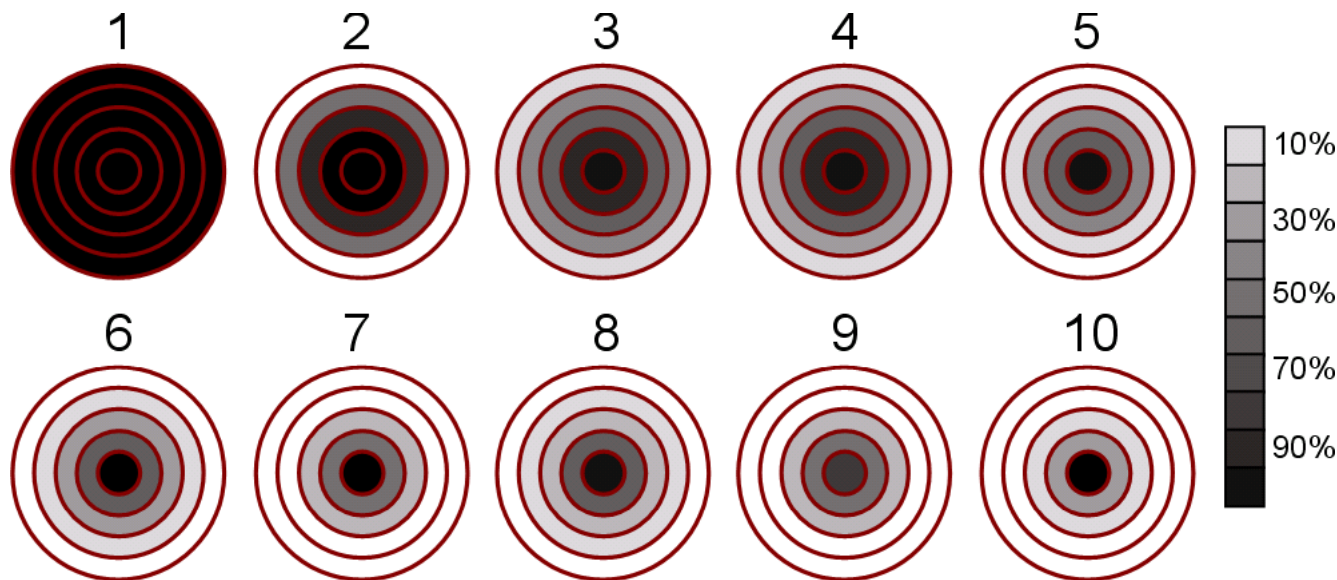
Computorexperiment:

- 1)  $\vec{x}^1, \dots, \vec{x}^{10}$  werden nacheinander mittels Hebb-Verfahren erlernt
- 2) nach jedem neu erlernten Vektor  $\vec{x}^i$  (Neuberechnung der Gewichtematrix): welcher Prozentsatz der Vektoren mit Hamming-Abstand von 0 bis 5 zu bisher gespeicherten  $\vec{x}^1, \dots, \vec{x}^i$  Vektoren wird durch Netz auf diesen projiziert (wie gut werden verrauschte Eingabe erkannt)

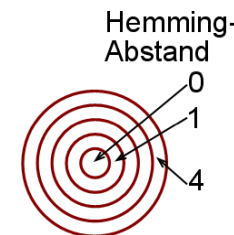
H \ i	1	2	3	4	5	6	7	8	9	10
0	100,0	100,0	100,0	100,0	100,0	100,0	100,0	100,0	80,0	100,0
1	100,0	100,0	90,0	85,0	60,0	60,0	54,3	56,2	45,5	33,0
2	100,0	86,7	64,4	57,2	40,0	31,8	22,5	23,1	17,0	13,3
3	100,0	50,0	38,6	25,4	13,5	8,3	4,8	5,9	3,1	2,4
4	100,0	0,0	9,7	7,4	4,5	2,7	0,9	0,8	0,3	0,2
5	0,0	0,0	0,0	0,3	0,0	0,0	0,0	0,0	0,0	0,0

# Hebbian-Learning: empirische Resultate

Änderung der Attraktionsbecken bei zunehmender Zahl  $i$  erlernter Vektoren



Prozentsatz der Vektoren  $\vec{z}$ , die mit einem Hamming-Abstand 0 bis 4 zu den gespeicherten Vektoren  $\vec{x}^1, \dots, \vec{x}^i$  auf diese abgebildet werden.



<b>H</b> \ <b>i</b>	1	2	3	4	5	6	7	8	9	10
0	100,0	100,0	100,0	100,0	100,0	100,0	100,0	100,0	80,0	100,0
1	100,0	100,0	90,0	85,0	60,0	60,0	54,3	56,2	45,5	33,0
2	100,0	86,7	64,4	57,2	40,0	31,8	22,5	23,1	17,0	13,3
3	100,0	50,0	38,6	25,4	13,5	8,3	4,8	5,9	3,1	2,4
4	100,0	0,0	9,7	7,4	4,5	2,7	0,9	0,8	0,3	0,2
5	0,0	0,0	0,0	0,3	0,0	0,0	0,0	0,0	0,0	0,0

# Hebbian-Learning: empirische Resultate

Verbesserungsmöglichkeiten zur Erkennung verrauschter Eingaben

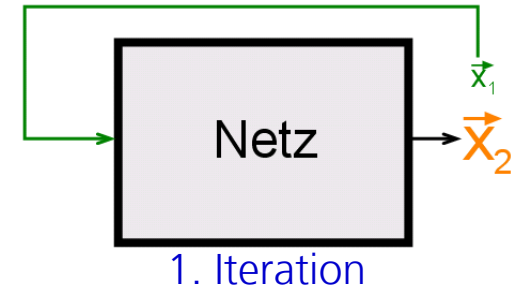
- iterative Anwendung des Netzes  
auch bezeichnet als **Netz mit Rückkopplung**



# Hebbian-Learning: empirische Resultate

Verbesserungsmöglichkeiten zur Erkennung verrauschter Eingaben

- iterative Anwendung des Netzes  
auch bezeichnet als **Netz mit Rückkopplung**



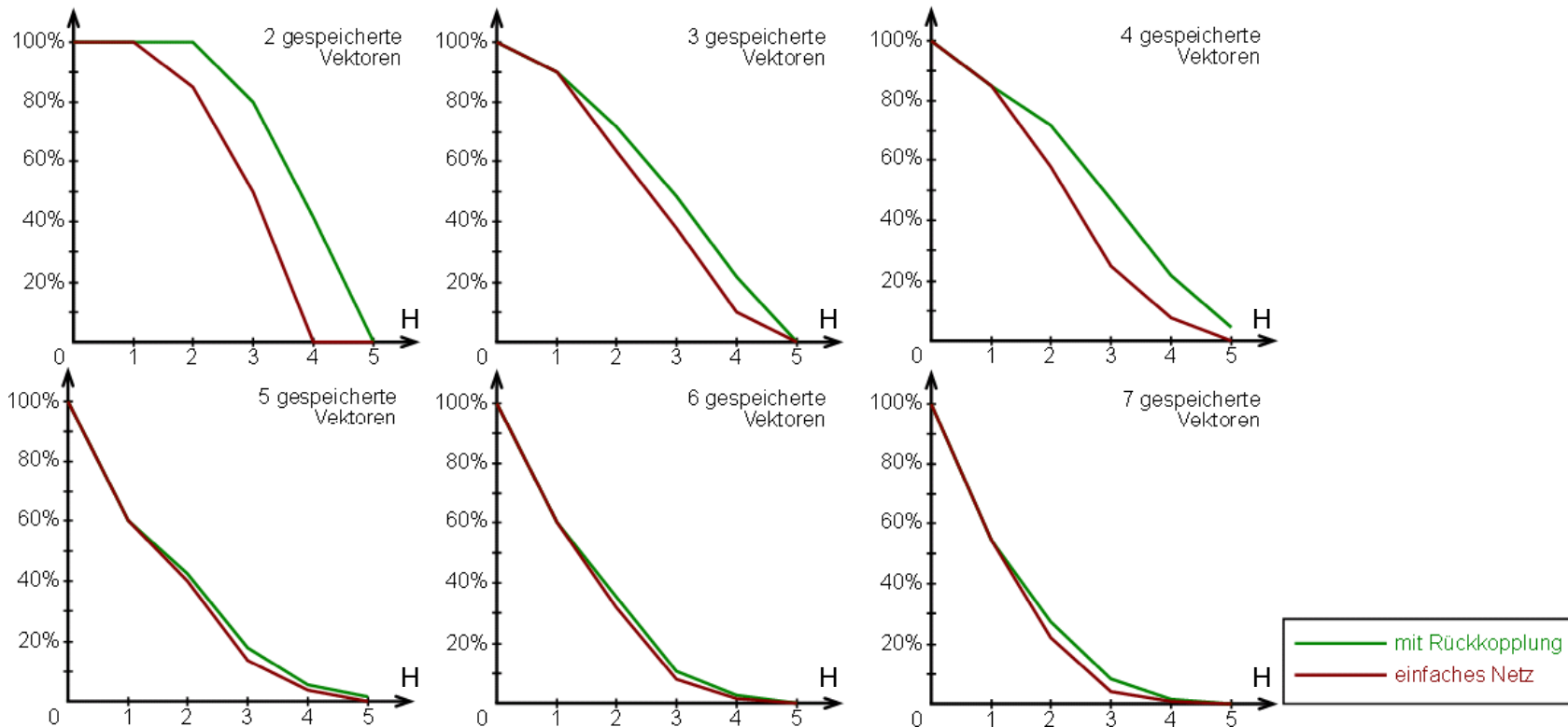
Experiment mit zuvor verwendeten Vektoren liefert nun:

H \ i	1	2	3	4	5	6	7
0	100,0	100,0	100,0	100,0	100,0	100,0	100,0
1	100,0	100,0	90,0	85,0	60,0	60,0	54,3
2	100,0	100,0	72,6	71,1	41,8	34,8	27,9
3	100,0	80,0	48,6	47,5	18,3	10,8	8,5
4	100,0	42,8	21,9	22,3	6,8	3,7	2,0
5	0,0	0,0	0,7	4,6	0,8	0,0	0,1

Prozentsatz der Vektoren  $\vec{z}$ , die mit einem Hamming-Abstand 0 bis 4 zu den gespeicherten Vektoren  $\vec{x}^1, \dots, \vec{x}^i$  nach 5 Iterationen auf diese abgebildet werden.

# Hebbian-Learning: empirische Resultate

Vergleich der Erkennungsleistung von Netzen mit und ohne Rückkopplung:



Rekursives Netz:

- deutlich bessere Leistung bei kleiner Zahl von gespeicherten Vektoren
- für große Zahl ( $m \approx n$ ) gespeicherter Vektoren kaum Unterschiede

# Hebbian-Learning: empirische Resultate

Ziel: Erkennungsleistung in Abhängigkeit der gespeicherten Vektoren  $i$   
benötigen: allgemeines Maß  $I$  für Erkennungsleistung bei festem  $i$

- Sei:
- $H$  Hamming-Abstand zu einem der gespeicherten Vektoren
  - $p_H$  Prozentsatz der Vektoren mit Hamming-Abstand  $H$ , die erkannt werden

Anforderungen:

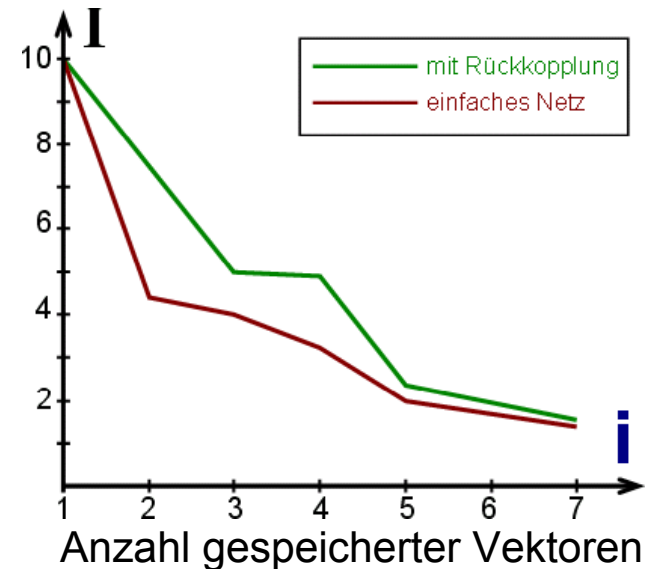
- Erkennung eines stark verrauschten Vektors ( $H$  groß) ist höher zu bewerten, als Erkennung eines wenig verrauschten Vektors ( $H$  klein)

Maß:

$$I = \sum_{H=0}^5 H p_H$$

gewichtet mit Stärke der Verrauschung  $H$

Anteil erkannter Vektoren







## beyond Hebbian-Learning

- Hebb-Verfahren liefert nur gute Ergebnisse bei fast **orthogonalen** Speichervektoren  $\vec{x}^1, \dots, \vec{x}^m$
- bei realen Anwendungen oft korrelierte Daten  
z.B. Schrifterkennung: Buchstaben **Q** und **O** nahezu identisch

$$\text{Ausgabe: } \text{sgn}(\vec{x}^i \mathbf{W}) = \text{sgn} \left( \vec{y}^i + \underbrace{\sum_{s \neq i} \vec{y}^s \frac{(\vec{x}^s \cdot \vec{x}^i)}{(\vec{x}^i \cdot \vec{x}^i)}}_{\text{crosstalk}} \right)$$

crosstalk wird zu gross, weil  $\vec{x}^s \cdot \vec{x}^p$  nicht für alle  $s \neq p$  klein genug ist

Frage: gibt es eine andere Matrix  $W$ , so dass crosstalk's möglichst klein werden ?

sog. **Pseudoinverse Matrix** minimiert Summe aller crosstalk's

Definition: es sei  $\mathbf{X}$  eine reelle  $m \times n$ -Matrix  
man bezeichnet  $\mathbf{X}^+$  als Pseudoinverse Matrix zu  $\mathbf{X}$ , falls

- a)  $\mathbf{X}\mathbf{X}^+\mathbf{X} = \mathbf{X}$
- b)  $\mathbf{X}^+\mathbf{X}\mathbf{X}^+ = \mathbf{X}^+$
- c)  $\mathbf{X}\mathbf{X}^+$  und  $\mathbf{X}^+\mathbf{X}$  sind symmetrisch

Anmerkung: die Pseudoinverse ist Verallgemeinerung der inversen Matrix

# beyond Hebbian-Learning

quadratische Norm einer Matrix  $\mathbf{A}$ :  $\|\mathbf{A}\|^2 := \text{Tr}(\mathbf{A}\mathbf{A}^T)$

Es gilt:  $\|\mathbf{A}\|^2 = \sum_{i=1}^m \vec{a}^i \cdot \vec{a}^{iT} = \sum_{i=1}^m \|\vec{a}^i\|^2$  für:  $\mathbf{A} = \begin{pmatrix} \overleftarrow{\vec{a}^1} \\ \vdots \\ \overleftarrow{\vec{a}^m} \end{pmatrix} = \begin{pmatrix} a_1^1 & \dots & a_n^1 \\ \vdots & \ddots & \vdots \\ a_1^m & \dots & a_n^m \end{pmatrix}$

$$\mathbf{A}^T = \begin{pmatrix} \overleftrightarrow{\vec{a}^{1T}} & \dots & \overleftrightarrow{\vec{a}^{mT}} \end{pmatrix}$$

$$\mathbf{A}\mathbf{A}^T = \begin{pmatrix} \vec{a}^1 \\ \vec{a}^2 \\ \vdots \\ \vec{a}^m \end{pmatrix} \cdot \begin{pmatrix} \vec{a}^{1T} & \vec{a}^{2T} & \dots & \vec{a}^{mT} \end{pmatrix} = \begin{pmatrix} \vec{a}^1 \vec{a}^{1T} & \vec{a}^1 \vec{a}^{2T} & \dots & \vec{a}^1 \vec{a}^{mT} \\ \vec{a}^2 \vec{a}^{1T} & \vec{a}^2 \vec{a}^{2T} & & \\ \vdots & & \ddots & \\ \vec{a}^m \vec{a}^{1T} & & & \vec{a}^m \vec{a}^{mT} \end{pmatrix}$$

# beyond Hebbian-Learning

quadratische Norm einer Matrix  $\mathbf{A}$ :  $\|\mathbf{A}\|^2 := \text{Tr}(\mathbf{A}\mathbf{A}^T)$

Es gilt:  $\|\mathbf{A}\|^2 = \sum_{i=1}^m \vec{a}^i \cdot \vec{a}^{iT} = \sum_{i=1}^m \|\vec{a}^i\|^2$  für:  $\mathbf{A} = \begin{pmatrix} \leftarrow \vec{a}^1 \rightarrow \\ \vdots \\ \leftarrow \vec{a}^m \rightarrow \end{pmatrix} = \begin{pmatrix} a_1^1 & \dots & a_n^1 \\ \vdots & \ddots & \vdots \\ a_1^m & \dots & a_n^m \end{pmatrix}$

Satz: Sei  $\mathbf{X}$  eine reelle  $m \times n$ -Matrix und  $\mathbf{Y}$  eine reelle  $m \times k$ -Matrix.  
Die  $m \times k$ -Matrix  $\mathbf{W} = \mathbf{X}^+ \mathbf{Y}$  minimiert die quadratische Norm der Matrix  $\mathbf{X}\mathbf{W} - \mathbf{Y}$  (mit  $\mathbf{X}^+$  pseudoinverse Matrix zu  $\mathbf{X}$ ).

damit:  $\vec{y}^i = \vec{x}^i \mathbf{W} - (\vec{x}^i \mathbf{W} - \vec{y}^i)$   
 $\vec{x}^i \mathbf{W} = \vec{y}^i + (\vec{x}^i \mathbf{W} - \vec{y}^i)$

Ausgabe:  $\text{sgn}(\vec{x}^i \mathbf{W}) = \text{sgn}\left(\vec{y}^i + \underbrace{(\vec{x}^i \mathbf{W} - \vec{y}^i)}_{\substack{\text{crosstalk zu} \\ \text{Vektor } i}}\right) \stackrel{!}{=} \vec{c}^i$  aus Vergleich mit  $\text{sgn}(\vec{x}^i \mathbf{W}) = \text{sgn}\left(\vec{y}^i + \underbrace{\sum_{s \neq i} \vec{y}^s \frac{(\vec{x}^s \cdot \vec{x}^i)}{(\vec{x}^i \cdot \vec{x}^i)}}_{\text{crosstalk}}\right)$

für  $\mathbf{X}\mathbf{W} - \mathbf{Y} = \begin{pmatrix} \vec{x}^1 \mathbf{W} - \vec{y}^1 \\ \vdots \\ \vec{x}^m \mathbf{W} - \vec{y}^m \end{pmatrix}$  folgt:  $E = \|\mathbf{X}\mathbf{W} - \mathbf{Y}\|^2 = \sum_{i=1}^m \|\vec{x}^i \mathbf{W} - \vec{y}^i\|^2$

$\mathbf{W} = \mathbf{X}^+ \mathbf{Y}$  minimiert Gesamtsumme aller Störterme eines Assoziativspeichers

# beyond Hebbian-Learning

## Berechnung der pseudoinversen Matrix

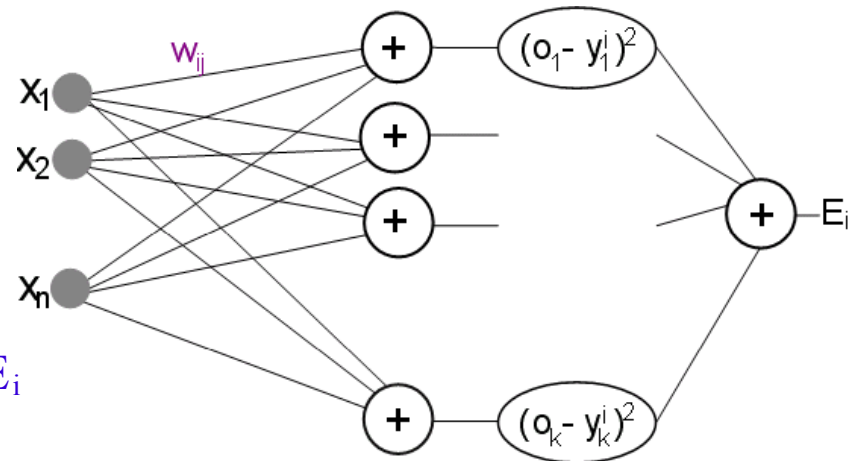
- effiziente Algorithmen aus linearer Algebra bekannt

- mittels eines Backpropagation-Netzes:

- für Eingabe  $\vec{x}^i$  wird Ausgabe des Netzes mit Komponenten des Vektors  $\vec{y}^i$  verglichen und quadratischer Fehler  $E_i$  berechnet

- gesamter quadratischer Fehler  $E = \sum_i E_i$   
ist Norm von  $\mathbf{XW} - \mathbf{Y}$

- mittels Backpropagation kann Matrix  $\mathbf{W}$  gefunden werden die  $\|\mathbf{XW} - \mathbf{Y}\|^2$  minimiert



# Zusammenfassung:

## Lösungen des Lernproblems für Assoziativspeicher :

- Hebbian-Learning:  $\mathbf{W} = \mathbf{W}^1 + \mathbf{W}^2 + \dots + \mathbf{W}^m$  mit  $\mathbf{W}^i = \vec{\mathbf{x}}^{i\top} \otimes \vec{\mathbf{y}}^i$   
arbeitet nur bei hinreichend orthogonalen Vektoren  $\vec{\mathbf{x}}^1, \dots, \vec{\mathbf{x}}^m$
- Hebbian-Learning mit Rückkopplung:  
Iterative Anwendung des mit Hebb-Verfahren trainierten Netzes  
liefert bessere Rauschtoleranz bei kleiner Zahl von erlernten Vektoren
- Verfahren der pseudoinversen Matrix:  $\mathbf{W} = \mathbf{X}^+ \mathbf{X}$   
arbeitet auch auf nicht-orthogonalen (korrelierten) Vektoren  $\vec{\mathbf{x}}^1, \dots, \vec{\mathbf{x}}^m$   
aber liefert i.a. schlechtere Resultate bei orthogonalen Vektoren

Ende